

УДК 531.8

К ДИНАМИКЕ ВИБРОХОДА

НАГАЕВ Р. Ф., ТАММ Е. А.

Под виброходом [1] понимается самоходный колесный аппарат, привод которого расположен целиком внутри герметичного корпуса и возбуждает асимметричную вибрационную силу. Равномерное в среднем перемещение виброхода обусловлено существенной нелинейностью сил типа сухого трения в осях колесных пар [2].

В публикуемой работе составлены общие уравнения прямолинейного движения виброхода, получены формулы для определения пути и времени свободного торможения по горизонтальной плоскости, доказано существование двух пороговых значений радиуса трения в осях колес. Одно из этих значений характеризует заклинивание, а другое — перераспределение давлений на переднее и заднее колеса.

1. Рассмотрим задачу о прямолинейном движении виброхода. Предположим, что геометрические размеры колес (или пар колес, установленных жестко на общих осях) одинаковы, а центр масс C корпуса вместе с заторможенным приводом в общем случае смещен относительно точки O , делящей расстояние l между центрами вращения колес пополам. Оси колес и прилегающие поверхности корпуса образуют пары сухого трения (фиг. 1). Трением качения колес о поверхность пренебрегаем.

На корпус массы M аппарата действует плоская система активных сил, в число которых входит вес корпуса Mg , направленный вертикально вниз, а также может быть включено вибрационное воздействие от привода. Это оказывается возможным, если мощность привода не ограничена, а масса корпуса значительно превосходит общую массу движущихся элементов привода. Тогда приближенно можно считать, что вибрационная сила изменяется по известному периодическому закону с нулевым средним значением.

Привода эту систему активных сил методами геометрической статики к центру O , получим, что к точке O будут приложены следующие известные периодические усилия: X и Y — проекции главного вектора активных сил на продольное x и поперечное y направления, L — главный момент активных сил, тогда силовые (в проекциях на направлениях x и y) и моментные уравнения кинестатики корпуса имеют вид:

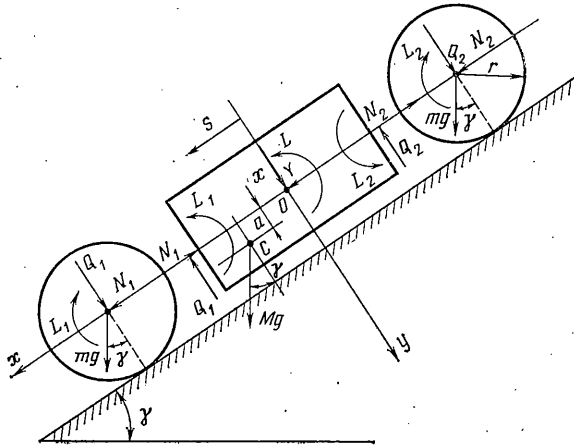
$$Ms'' = X - N_1 - N_2, \quad Y = Q_1 + Q_2 \quad (1.1)$$

$$L + L_1 + L_2 - \frac{1}{2}l(Q_1 - Q_2) + aMs'' = 0$$

Здесь s — продольная координата корпуса, a — отклонение центра масс корпуса от продольной оси Ox ; N_1, Q_1, N_2, Q_2 компоненты реакций на корпус со стороны осей переднего и заднего колес соответственно (фиг. 1). Моменты сухого трения на осях колесных пар при $s \neq 0$ представляются в виде линейных функций суммарных реактивных усилий в осях колесных пар

$$L_i = (L_{i0} + f_i r \sqrt{Q_i^2 + N_i^2}) \operatorname{sign} s' \quad (i=1, 2) \quad (1.2)$$

Здесь L_{10} и L_{20} — постоянный «статический» тормозной момент, а f_1 и f_2 — эффективные коэффициенты «динамического» трения, приведенные к радиусу колес r . В задачах о торможении автомобиля уровень ускорений относительно невелик, поэтому основную роль играет статическая составляющая момента трения, обусловленная действием тормозных ко-



Фиг. 1

лодок $L_i = L_{i0} \text{sign } s^*$ [3]. Для виброхода коэффициенты f_1 и f_2 зачастую невелики, однако уровень ускорений весьма значителен, поэтому здесь, наоборот, статической составляющей можно пренебречь

$$L_i^2 = f_i^2 r^2 (Q_i^2 + N_i^2) \quad (i=1, 2) \quad (1.3)$$

Соотношения (1.1) и (1.3) следует дополнить уравнениями качения колесных пар без проскальзывания

$$(m + I/r^2) s^{**} = N_i - L_i r^{-1} + mg \sin \gamma \quad (i=1, 2) \quad (1.4)$$

здесь m и I — масса и центральный момент инерции колесных пар, а γ — угол наклона продольной оси аппарата к горизонту.

Итак, имеется система семи уравнений (1.1), (1.3) и (1.4) с семью неизвестными s , N_1 , N_2 , Q_1 , Q_2 , L_1 , L_2 . После исключения неизвестных реактивных усилий задача сводится к интегрированию одного дифференциального уравнения второго порядка относительно s . Однако в силу нелинейности соотношений (1.3) такое исключение в замкнутом виде невозможно.

Отметим, что при построении закона движения виброхода следует учитывать необходимость выполнения неравенств, обеспечивающих тормозящий характер моментов трения, отсутствие подбрасывания колес, отсутствие проскальзывания колес относительно поверхности (буксование) соответственно:

$$L_i s^* > 0, \quad Q_i + mg \cos \gamma > 0 \quad (1.5)$$

$$N_i - m s^{**} + mg \sin \gamma < f_i' (Q_i + mg \cos \gamma)$$

Здесь f_1' и f_2' — коэффициенты трения скольжения колес о поверхность.

Для дальнейшего удобнее исключить неизвестные реактивные силы N_1 , N_2 , Q_1 , Q_2 . С этой целью, прежде всего, сложим первое уравнение (1.1) с уравнениями (1.4):

$$(M + 2m + 2I/r^2) s^{**} = X + 2mg \sin \gamma - (L_1 + L_2)/r \quad (1.6)$$

Далее из (1.4) с учетом (1.6) получим

$$N_1 = \rho (X - L_2/r) + (1 - \rho) L_1/r - (1 - 2\rho) mg \sin \gamma \quad (1.7)$$

$$N_2 = \rho (X - L_1/r) + (1 - \rho) L_2/r - (1 - 2\rho) mg \sin \gamma$$

$$\rho = \frac{I + mr^2}{2I + (M + 2m)r^2} \quad (0 < \rho < 1/2)$$

Выражения для поперечных реактивных сил Q_1 и Q_2 получаются аналогично из второго и третьего уравнения (1.1) с учетом (1.6) и имеют вид

$$Q_{1,2} = \pm \frac{1}{2} Y \pm \frac{1}{2} [\alpha(L_1 + L_2)/r + 2L/l + (\beta - \alpha)(X + 2mg \sin \gamma)]$$

$$\alpha = \frac{2r}{l} \left[1 - \frac{Mar}{2I + (M + 2m)r^2} \right] \quad \beta = \frac{2r}{l} \quad (1.8)$$

Введем безразмерные переменные

$$x = (X + 2mg \sin \gamma)/F, \quad y = Y/F, \quad \tau = t/T$$

$$n_{1,2} = N_{1,2}/F, \quad q_{1,2} = Q_{1,2}/F, \quad \mu_{1,2} = L_{1,2}/(rF) \quad (1.9)$$

$$\xi = (M + 2m + 2I/r^2)s/(FT^2), \quad \mu = 2L/lF$$

в которых масштабные значения силы F и времени T будут выбраны в дальнейшем.

Выражения для безразмерных продольных и поперечных реактивных усилий согласно (1.7) и (1.8) будут

$$n_i = \rho(x - w) + \mu_i - \kappa \sin \gamma \quad (i=1, 2) \quad (1.10)$$

$$q_{1,2} = \pm \frac{1}{2} y \pm \frac{1}{2} [\alpha w + \mu + (\beta - \alpha)x]$$

$$w = \mu_1 + \mu_2, \quad \kappa = mg/F$$

Безразмерный аналог дифференциального уравнения (1.6) запишется в виде (штрих означает дифференцирование по безразмерному времени τ):

$$\xi'' = x - w \quad (1.11)$$

Уравнения для определения μ_1 и μ_2 согласно (1.3), (1.9) и (1.10) принимают форму

$$\mu_1^2/f_1^2 = [\rho(x - w) + \mu_1 - \kappa \sin \gamma]^2 + \frac{1}{4} \{y + [\alpha w + \mu + (\beta - \alpha)x]\}^2 \quad (1.12)$$

$$\mu_2^2/f_2^2 = [\rho(x - w) + \mu_2 - \kappa \sin \gamma]^2 + \frac{1}{4} \{y - [\alpha w + \mu + (\beta - \alpha)x]\}^2$$

Неравенства (1.5) в безразмерной форме можно записать так

$$\mu_i \xi' > 0, \quad y \pm [\alpha w + \mu + (\beta - \alpha)x] + 2\kappa \cos \gamma > 0 \quad (1.13)$$

$$2\rho(x - w) + 2\mu_i < f_i' \{y - (-1)^i [\alpha w + \mu + (\beta - \alpha)x] + 2\kappa \cos \gamma\}$$

2. Уравнения (1.12) могут быть решены в замкнутом виде в задаче о свободном торможении на горизонтальной поверхности ($\gamma=0$) аппарата, если центр масс корпуса C лежит на оси Oy , а коэффициенты трения в осях переднего и заднего колес одинаковы ($f_1=f_2=f$). В этом случае, очевидно

$$x = \mu = 0, \quad y = Mg/F \quad (2.1)$$

и уравнения (1.12) принимают вид

$$\mu_1^2/f^2 = (\rho w - \mu_1)^2 + \frac{1}{4} [y + \alpha w]^2, \quad \mu_2^2/f^2 = (\rho w - \mu_2)^2 + \frac{1}{4} [y - \alpha w]^2 \quad (2.2)$$

Вычтем из первого уравнения (2.2) второе. Полученное соотношение после сокращения на $w = \mu_1 + \mu_2$ можно разрешить относительно разности $\varepsilon = \mu_1 - \mu_2$ моментов трения

$$\varepsilon = \frac{f_*^2 f^2}{f_*^2 - f^2} \alpha y, \quad f_* = \frac{1}{\sqrt{1 - 2\rho}} = \sqrt{1 + 2 \frac{I + mr^2}{Mr^2}} > 1 \quad (2.3)$$

Если теперь сложить уравнения (2.2), то результат при учете (2.3) легко разрешить относительно w^2 :

$$w^2 = \frac{(f^2 - f_*^{-2}) + (1 - f^2)(f_*^{-2} - f_*^{-2})}{(f^2 - f_*^{-2})^2 (f^2 - f_*^{-2})} y^2$$

$$f^* = 1/\sqrt{(1-2\rho)^2 + \alpha^2} = f_*^2/\sqrt{1 + \alpha^2 f_*^4} \quad (2.4)$$

Предположим, что торможение началось в момент $t=0$, когда $s=0$, с положительной начальной скоростью $s'=v$. Выберем масштабное значение силы F , чтобы безразмерные начальные условия были

$$\xi=0, \quad \xi'=1 \text{ при } \tau=0 \quad (2.5)$$

Из (2.5) в силу (1.9) следует

$$F = (M+2m+2I/r^2)v/T \quad (2.6)$$

Непосредственно интегрируя дифференциальное уравнение торможения $\xi'' = -w$ (см. (1.11)), с учетом (2.5) получим

$$\xi' = 1 - w\tau, \quad \xi = \tau - 1/2 w\tau^2 \quad (2.7)$$

Масштабное значение времени T здесь удобно отождествлять с продолжительностью торможения. Следовательно

$$\xi'|_{\tau=1} = 0 \quad (2.8)$$

и согласно первому уравнению (2.7) $w=1$. Подставляя это значение в (2.4), получим

$$y = |f^{-2} - f_*^{-2}| \sqrt{\frac{f^{-2} - f_*^{-2}}{(f^{-2} - f_*^{-2})^2 + (1 - f^{-2})(f_*^{-2} - f_*^{-4})}} \quad (2.9)$$

3. Разрешим (2.6) относительно T . Так как согласно (2.1), $F=Mg/y$ в результате получим

$$T = (M+2m+2I/r^2)vy/Mg \quad (3.1)$$

С другой стороны, общий путь торможения равен

$$S = 1/2 vT = (M+2m+2I/r^2)^{1/2} v^2 y / Mg \quad (3.2)$$

Таким образом, определяемая по формуле (2.9) безразмерная величина y пропорциональна как времени, так и пути торможения аппарата в его равномерно замедленном движении.

Существенно, что $y \rightarrow 0$ при $f \rightarrow f^*$, а при $f > f^*$ формула (2.9) теряет физический смысл. Это означает, что при $f \geq f^*$ первоначальный толчок приводит к мгновенному заклиниванию аппарата. Поэтому величину f^* естественно назвать порогом заклинивания. С другой стороны, если $\alpha > 0$, то при $f < f_*$ ($f > f_*$) в силу (2.3) $\varepsilon > 0$ ($\varepsilon < 0$) и, следовательно, $\mu_1 > \mu_2$ ($\mu_1 < \mu_2$). Моменты сил трения μ_1 и μ_2 как уже говорилось, пропорциональны динамическому давлению на оси переднего (первого) и заднего (второго) колес. Поэтому при $0 < f < f_*$ более нагруженной является передняя колесная пара, а при $f > f_*$ задняя. Если $\alpha < 0$, то картина меняется на противоположную. При $\alpha = 0$ всегда $\varepsilon = 0$ и обе колесные пары нагружены одинаково ($\mu_1 = \mu_2$). Поэтому величину f_* будем называть порогом перераспределения давлений на колеса аппарата.

Следует различать два качественно различных случая. В первом $f_* > f^*$ и, следовательно

$$|\alpha| > \alpha_*, \quad \alpha_* = \sqrt{f_*^2 - 1}/f_*^2 = \sqrt{2\rho(1-2\rho)} \quad (3.3)$$

При этом в соответствии с (2.9) увеличение коэффициента трения от 0 до f^* вызывает монотонное убывание пути и времени торможения от ∞ до нуля.

Наоборот, если $|\alpha| < \alpha_*$ и поэтому $f_* < f^*$, то в диапазоне $0 < f < f_*$ величина y монотонно убывает до нуля. Далее в диапазоне $f_* < f < f^*$ путь (и время) торможения сначала увеличивается от нуля, а затем, достигнув максимального значения, начинает убывать обращаясь при $f = f^*$ в нуль. Отсюда следует, на первый взгляд, парадоксальное утверждение: увеличение коэффициента трения в осях колесных пар непосредственно за порогом перераспределения давлений на них влечет за собой увеличение

общего пути (и времени) торможения. Это связано с тем, что изменение f в данном диапазоне вызывает чрезвычайно резкое увеличение давления на ось заднего колеса (при $\alpha > 0$) и, соответственно, уменьшение давления на ось переднего колеса.

Здесь следует отметить, что построенное движение может оказаться неустойчивым по отношению к малым сингулярным возмущениям, связанным с увеличением общего числа степеней свободы системы¹. Такие возмущения могут, например, появляться при уточнении общей динамической модели аппарата путем учета конечной, хотя и весьма большой, жесткости подшипниковых узлов в осях колес. Указанная неустойчивость отсутствует при малых значениях коэффициента трения и особенно опасна в диапазоне $f_* < f < f^*$.

Существенно, что изменение знака коэффициента α не меняет величины пути (и времени) торможения. При этом, однако, передняя и задняя колесные пары меняются местами в смысле динамической нагруженности. Уменьшение модуля α приводит к монотонному увеличению y . Если $\alpha = 0$ и поэтому

$$a = [2I + (M + 2m)r^2] / Mr \quad (3.4)$$

то эффективность торможения в осях колес минимальна, а время и путь торможения максимальны. В этом смысле значение расстояния a согласно (3.4) является оптимальным.

Отметим также, что согласно (2.5) $f^* = f_*^2$ при $\alpha = 0$, поэтому величина y в этом случае в силу (2.9) равна

$$y_{\max} = \sqrt{f^2 - f_*^{-4}} \quad (3.5)$$

Итак, при $\alpha = 0$ путь и время торможения монотонно убывают с ростом f в интервале $(0, f^*)$, несмотря на то, что неравенство (3.3) в этом случае заведомо не выполняется.

На фиг. 2 представлены графики зависимости величины y от коэффициента трения f при фиксированных значениях параметров ρ ($\rho = 0,3$) и f_* ($f_* = 0,64$) и различных значениях α .

Приведем теперь неравенства (1.13), выполнение которых обеспечивает существование безотрывного качения без проскальзывания. Поскольку в данном случае $\xi' > 0$, $\mu = 0$, $x = 0$, $\gamma = 0$, $w = 1$, а величина $\kappa = mg/F$ в силу (2.1) равна $\kappa = My/m$, окончательно получим

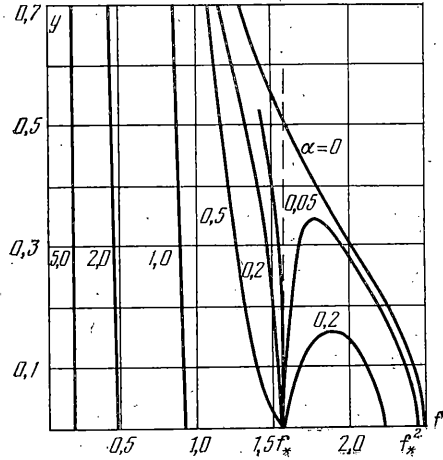
$$\mu_i > 0, \quad y \geq M|\alpha| / (M + 2m), \quad f_i' > \frac{2(\mu_i - \rho)}{y(M + 2m) / M - (-1)^i \alpha} \quad (3.6)$$

При $f \rightarrow 0$ моменты трения μ_i представимы в виде рядов по степеням f :

$$\mu_i = \frac{1}{2}yf \pm \alpha y f^2 + \frac{1}{4}(1 - 2\rho)^2 y f^3 + \dots > 0 \quad (3.7)$$

С другой стороны, согласно (2.2) всегда $\mu_i \neq 0$. Поэтому первое неравенство (3.6), обеспечивающее тормозящий характер моментов трения всегда выполняется. Согласно второму неравенству (3.6), при $\alpha > 0$ ($\alpha < 0$) существует опасность подбрасывания заднего (переднего) колеса. Это оказывается возможным даже тогда, когда $|\alpha| > \alpha_*$, $f_* < f < f^*$ (см. (3.3)) и поэтому заднее (переднее) колесо является более нагруженным. Начало подбрасывания при $|\alpha| > \alpha_*$ наступает с увеличением коэффициента трения f в некоторой окрестности порога заклинивания f^* . При $|\alpha| < \alpha_*$ зона подбрасывания по f включает в себя также окрестность порога

¹ Новожиллов И. В. О корректности ряда предельных моделей в механике. Препринт Ин-та проблем механики АН СССР. М., 1985, № 253. 19 с.



Фиг. 2

перераспределения давлений на колеса. При односторонней связи между колесами и поверхностью оба критических значения коэффициента трения в безотрывном торможении по существу недостижимы. Последнее неравенство (3.6) позволяет определить критическое значение коэффициента трения f' скольжения колес о поверхность. Это значение ограничивает по f' снизу область режимов торможения аппарата без пробуксовки. Отметим, что $\mu_s \rightarrow 0$ при $f \rightarrow 0$ (см. (3.7)) и поэтому третье неравенство (3.6) выполняется. По мере приближения к границе зоны подбрасывания выражение в правой части этого неравенства увеличивается до бесконечности, поэтому появление пробуксовки (при конечных значениях f') всегда предшествует началу подбрасывания.

ЛИТЕРАТУРА

1. Гуля Н. В. Инерция. М.: Наука, 1982. 152 с.
2. Нагаев Р. Ф. Периодические режимы вибрационного перемещения. М.: Наука, 1978. 160 с.
3. Чудаков Е. А. Теория автомобиля. М., Машгиз, 1950. 344 с.

Ленинград

Поступила в редакцию
27.XII.1984